

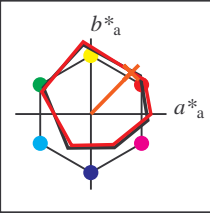
Entrée et sortie: Système Offset Reflective ORS18a pour la teinte CIELAB relative $h_{ab,a,rel} = h_{ab}/360 = 45/360 = 0.12$

$H^*_d = R25Y_d$

Données de couleurs périphériques (d)

ou élémentaires (e):

HIC^*_d
code de teinte pour les couleurs de cette page:
 $H^*_d = R25Y_d$
triangle de luminosité T^*



ORS20a; données CIELAB (a) adaptées

nom	$L^*=L^*_a$	a^*_a	b^*_a	$C^*_{ab,a}$	$h^*_{ab,a}$
R _{d, Ma}	45.4	70.9	44.8	83.9	32
Y _{d, Ma}	87.8	-10.2	95.4	96.0	96
G _{d, Ma}	50.0	-65.0	29.6	71.4	155
C _{d, Ma}	56.8	-25.5	-41.5	48.7	238
B _{d, Ma}	25.0	29.5	-40.4	50.0	306
M _{d, Ma}	46.1	79.3	-0.2	79.3	359
N _{d, Ma}	24.3	0.0	0.0	0.0	0
W _{d, Ma}	95.6	0.0	0.0	0.0	0
R _{d, CIE}	39.9	58.7	27.9	65.0	25
Y _{d, CIE}	81.2	-2.8	71.5	71.6	92
G _{d, CIE}	52.2	-42.4	13.6	44.5	162
B _{d, CIE}	30.5	1.4	-46.4	46.4	271

Les données de couleur maximale (Ma):

$LabCh^*_{d, Ma}$: 53 53 54 76 45

$HIC^*_{d, Ma}$: R25Y_100_100_d

$rgbic^*_{d, Ma}$:

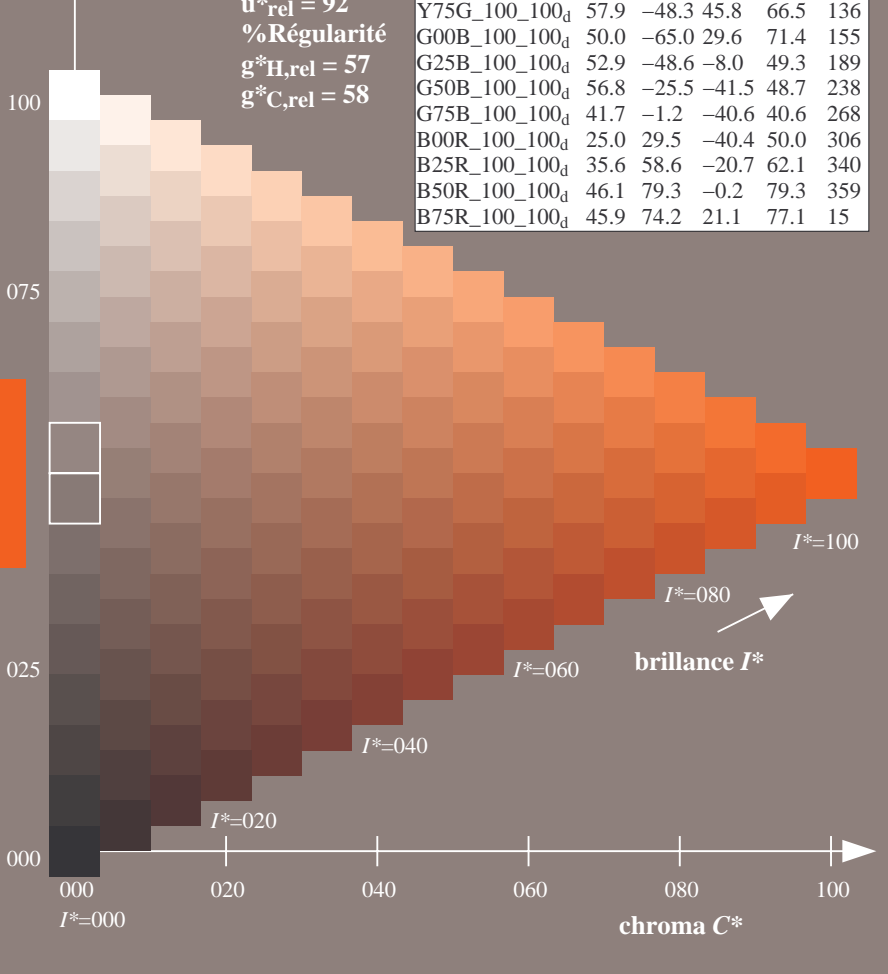
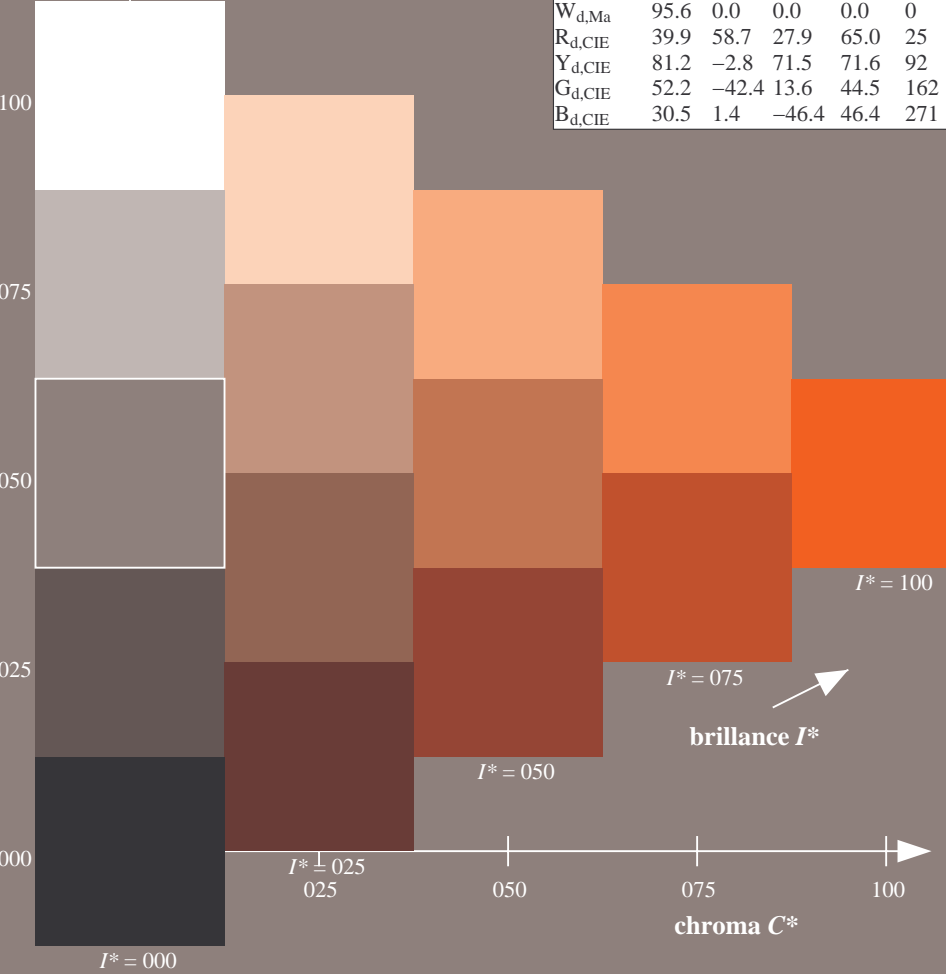
1.0 0.23 0.0 1.0 1.0

triangle de luminosité T^*

% Gamme
 $u^*_{rel} = 92$
% Régularité
 $g^*_{H, rel} = 57$
 $g^*_{C, rel} = 58$

ORS20a; données CIELAB (a) adaptées

H^*_d	$L^*=L^*_a$	a^*_a	b^*_a	$C^*_{ab,a}$	$h^*_{ab,a}$
R00Y_100_100 _d	45.4	70.9	44.8	83.9	32
R25Y_100_100 _d	53.0	53.4	54.8	76.5	45
R50Y_100_100 _d	64.9	28.9	68.6	74.5	67
R75Y_100_100 _d	78.6	4.3	84.7	84.8	87
Y00G_100_100 _d	87.8	-10.2	95.4	96.0	96
Y25G_100_100 _d	81.2	-17.0	84.3	86.0	101
Y50G_100_100 _d	70.6	-29.7	66.5	72.8	114
Y75G_100_100 _d	57.9	-48.3	45.8	66.5	136
G00B_100_100 _d	50.0	-65.0	29.6	71.4	155
G25B_100_100 _d	52.9	-48.6	-8.0	49.3	189
G50B_100_100 _d	56.8	-25.5	-41.5	48.7	238
G75B_100_100 _d	41.7	-1.2	-40.6	40.6	268
B00R_100_100 _d	25.0	29.5	-40.4	50.0	306
B25R_100_100 _d	35.6	58.6	-20.7	62.1	340
B50R_100_100 _d	46.1	79.3	-0.2	79.3	359
B75R_100_100 _d	45.9	74.2	21.1	77.1	15



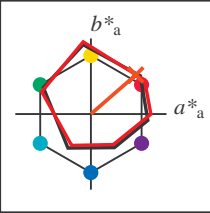
Entrée et sortie: Système Offset Reflective ORS18a pour la teinte CIELAB relative $h_{ab,a,rel} = h_{ab}/360 = 41/360 = 0.11$

$H^*_e = R25Y_e$

Données de couleurs périphériques (d)

ou élémentaires (e):

HIC^*_e
code de teinte pour les couleurs de cette page:
 $H^*_e = R25Y_e$
triangle de luminosité T^*



ORS20a; données CIELAB (a) adaptées

nom	$L^*=L^*_a$	a^*_a	b^*_a	$C^*_{ab,a}$	$h^*_{ab,a}$
R _{e,Ma}	45.6	72.2	34.4	80.0	25
Y _{e,Ma}	83.6	-3.6	90.4	90.4	92
G _{e,Ma}	50.6	-62.1	19.9	65.2	162
C _{e,Ma}	55.0	-36.2	-27.2	45.3	216
B _{e,Ma}	40.2	1.2	-40.6	40.6	271
M _{e,Ma}	31.1	47.7	-29.1	55.9	328
N _{e,Ma}	24.3	0.0	0.0	0.0	0
W _{e,Ma}	95.6	0.0	0.0	0.0	0
R _{e,CIE}	39.9	58.7	27.9	65.0	25
Y _{e,CIE}	81.2	-2.8	71.5	71.6	92
G _{e,CIE}	52.2	-42.4	13.6	44.5	162
B _{e,CIE}	30.5	1.4	-46.4	46.4	271

Les données de couleur maximale (Ma):

$LabCh^*_{e,Ma}: 50\ 59\ 51\ 78\ 41$

$HIC^*_{e,Ma}: R25Y_{100_{100}_e}$

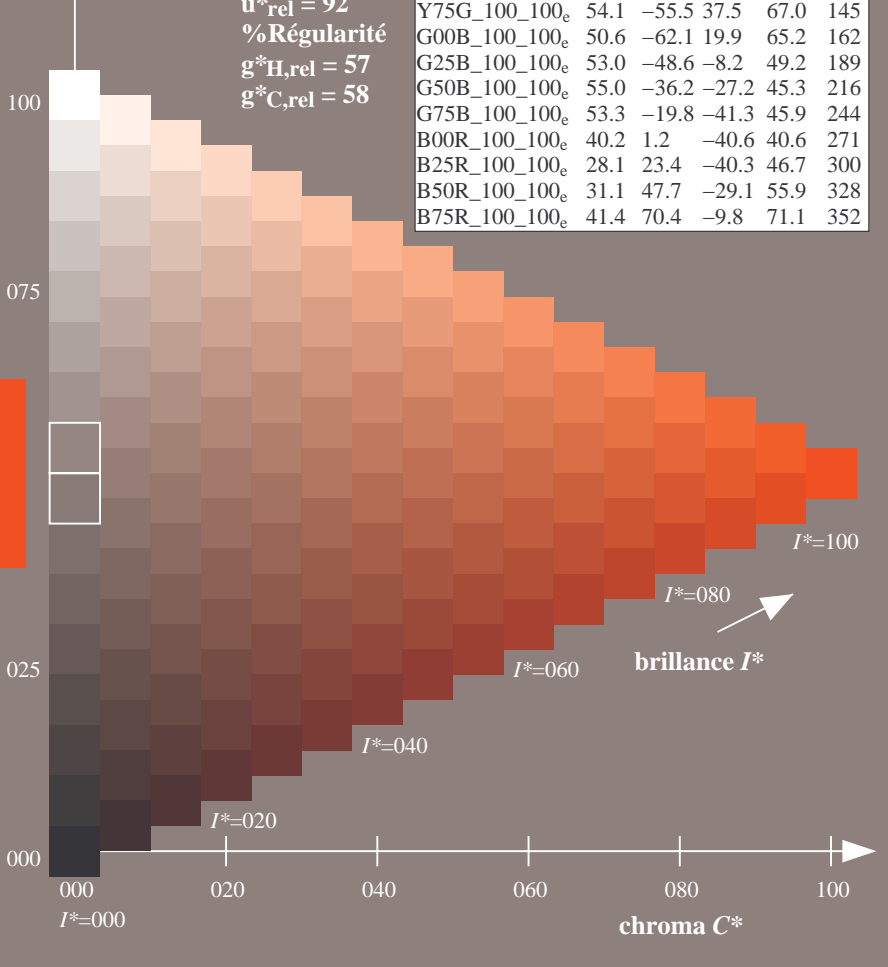
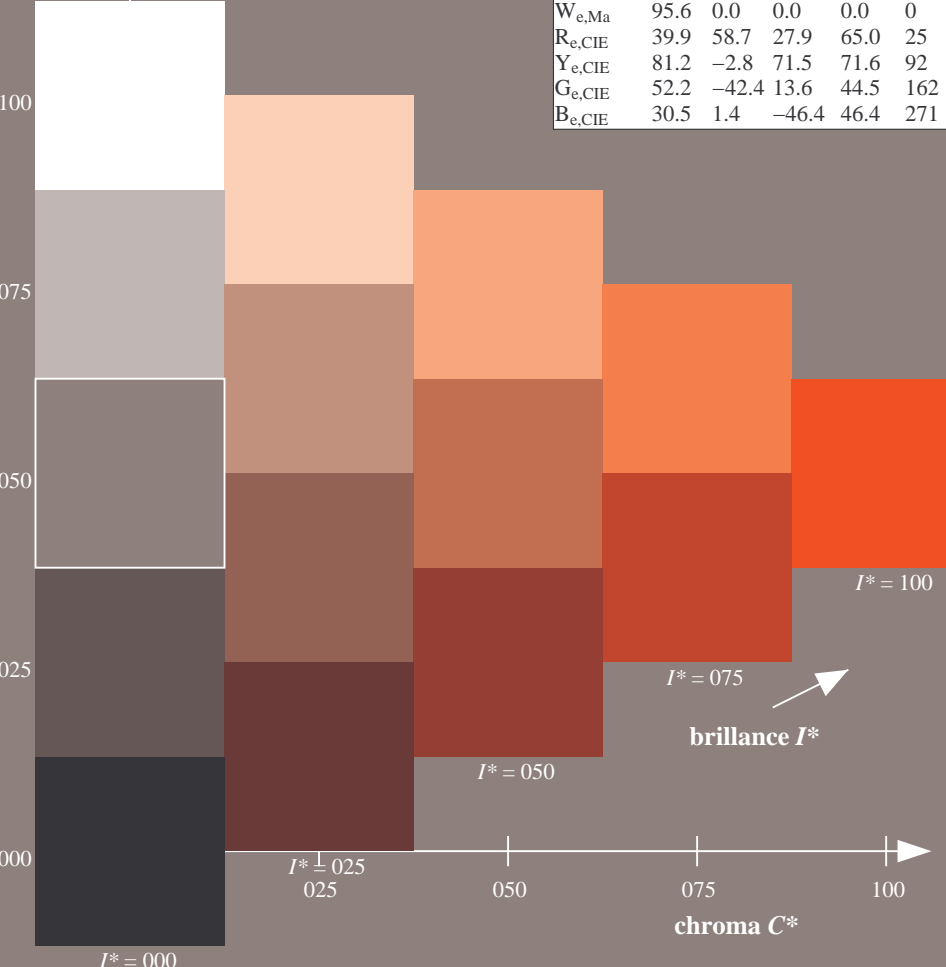
$rgbic^*_{e,Ma}: 1.0\ 0.16\ 0.0\ 1.0\ 1.0$

triangle de luminosité T^*

% Gamme
 $u^*_{rel} = 92$
% Régularité
 $g^*_{H,rel} = 57$
 $g^*_{C,rel} = 58$

ORS20a; données CIELAB (a) adaptées

H^*_e	$L^*=L^*_a$	a^*_a	b^*_a	$C^*_{ab,a}$	$h^*_{ab,a}$
R00Y _{100_{100}_e}	45.6	72.2	34.4	80.0	25
R25Y _{100_{100}_e}	50.5	59.2	51.6	78.6	41
R50Y _{100_{100}_e}	60.2	38.2	63.4	74.1	58
R75Y _{100_{100}_e}	70.9	17.9	75.9	77.9	76
Y00G _{100_{100}_e}	83.6	-3.6	90.4	90.4	92
Y25G _{100_{100}_e}	74.5	-25.0	74.3	78.4	108
Y50G _{100_{100}_e}	62.6	-40.9	53.8	67.6	127
Y75G _{100_{100}_e}	54.1	-55.5	37.5	67.0	145
G00B _{100_{100}_e}	50.6	-62.1	19.9	65.2	162
G25B _{100_{100}_e}	53.0	-48.6	-8.2	49.2	189
G50B _{100_{100}_e}	55.0	-36.2	-27.2	45.3	216
G75B _{100_{100}_e}	53.3	-19.8	-41.3	45.9	244
B00R _{100_{100}_e}	40.2	1.2	-40.6	40.6	271
B25R _{100_{100}_e}	28.1	23.4	-40.3	46.7	300
B50R _{100_{100}_e}	31.1	47.7	-29.1	55.9	328
B75R _{100_{100}_e}	41.4	70.4	-9.8	71.1	352



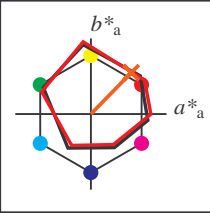
Entrée et sortie: Système Offset Reflective ORS18a pour la teinte CIELAB relative $h_{ab,a,rel} = h_{ab}/360 = 45/360 = 0.12$

$H^*_d = R25Y_d$

Données de couleurs périphériques (d)

ou élémentaires (e):

HIC^*_d
code de teinte pour les couleurs de cette page:
 $H^*_d = R25Y_d$
triangle de luminosité T^*



ORS20a; données CIELAB (a) adaptées

nom	$L^*=L^*_a$	a^*_a	b^*_a	$C^*_{ab,a}$	$h^*_{ab,a}$
R _{d, Ma}	45.4	70.9	44.8	83.9	32
Y _{d, Ma}	87.8	-10.2	95.4	96.0	96
G _{d, Ma}	50.0	-65.0	29.6	71.4	155
C _{d, Ma}	56.8	-25.5	-41.5	48.7	238
B _{d, Ma}	25.0	29.5	-40.4	50.0	306
M _{d, Ma}	46.1	79.3	-0.2	79.3	359
N _{d, Ma}	24.3	0.0	0.0	0.0	0
W _{d, Ma}	95.6	0.0	0.0	0.0	0
R _{d, CIE}	39.9	58.7	27.9	65.0	25
Y _{d, CIE}	81.2	-2.8	71.5	71.6	92
G _{d, CIE}	52.2	-42.4	13.6	44.5	162
B _{d, CIE}	30.5	1.4	-46.4	46.4	271

Les données de couleur maximale (Ma):

$LabCh^*_{d, Ma}$: 53 53 54 76 45

$HIC^*_{d, Ma}$: R25Y_100_100d

$rgbic^*_{d, Ma}$:

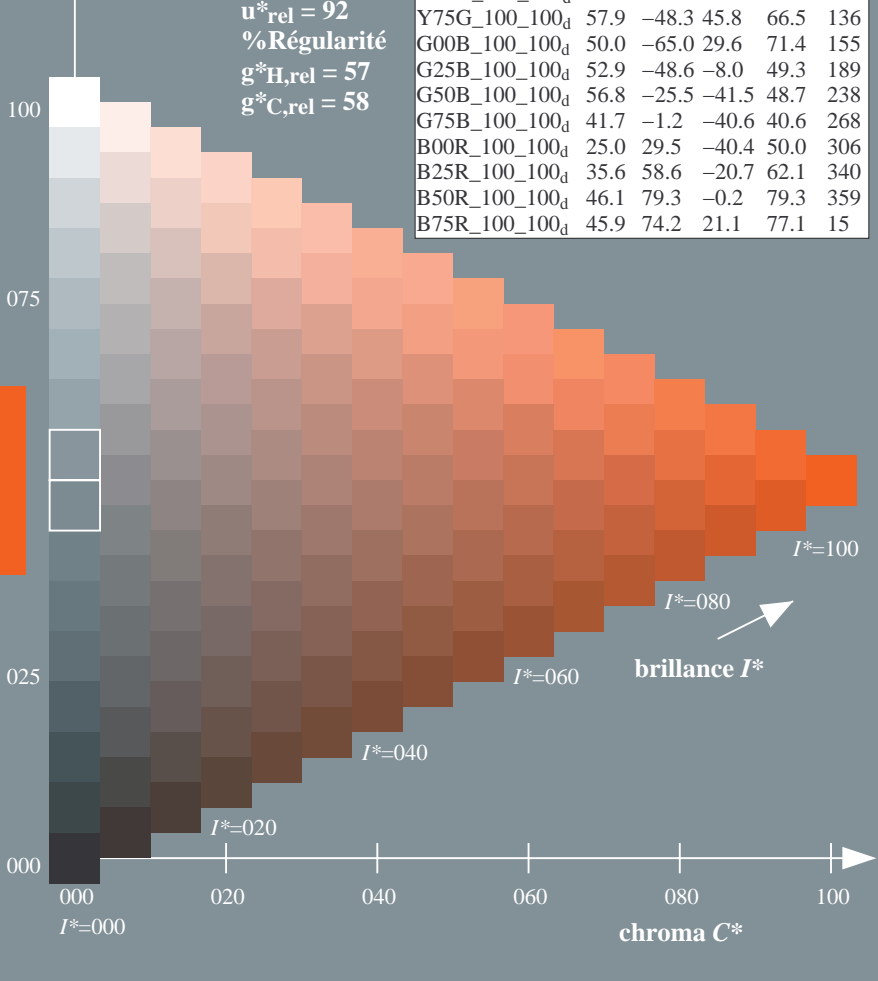
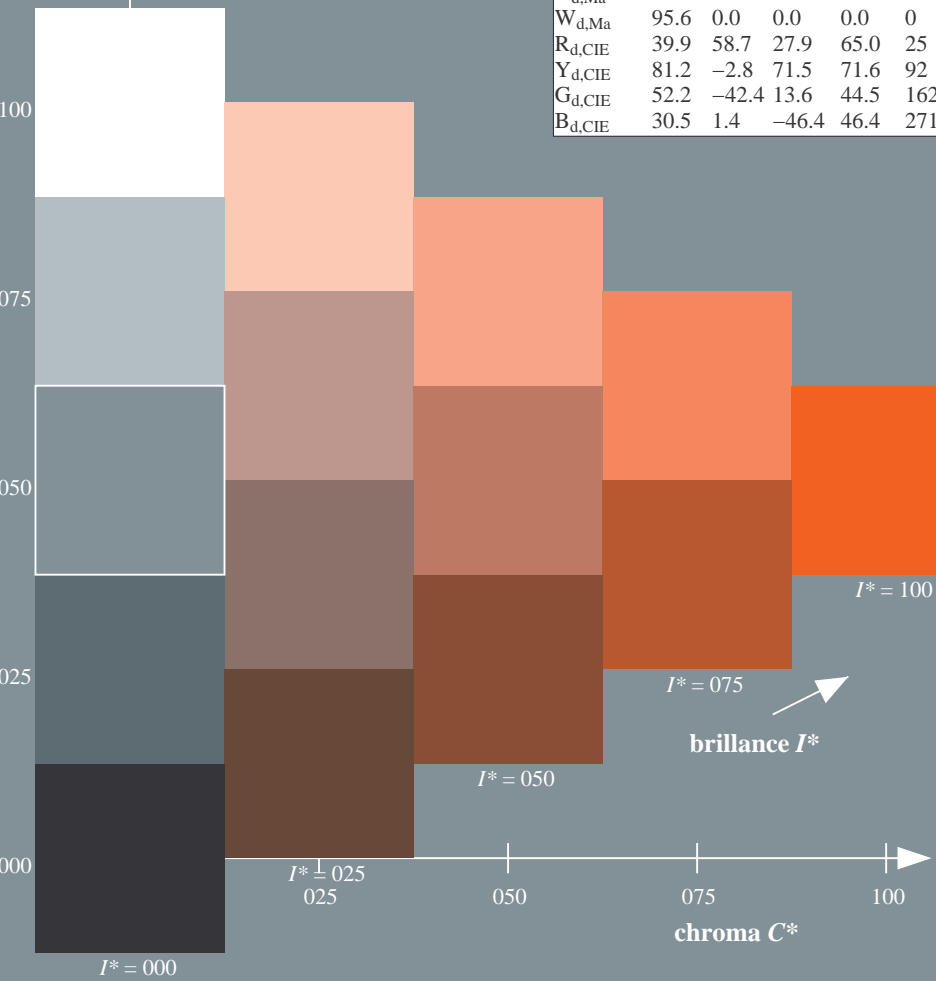
1.0 0.23 0.0 1.0 1.0

triangle de luminosité T^*

% Gamme
 $u^*_{rel} = 92$
% Régularité
 $g^*_{H, rel} = 57$
 $g^*_{C, rel} = 58$

ORS20a; données CIELAB (a) adaptées

H^*_d	$L^*=L^*_a$	a^*_a	b^*_a	$C^*_{ab,a}$	$h^*_{ab,a}$
R00Y_100_100 _d	45.4	70.9	44.8	83.9	32
R25Y_100_100 _d	53.0	53.4	54.8	76.5	45
R50Y_100_100 _d	64.9	28.9	68.6	74.5	67
R75Y_100_100 _d	78.6	4.3	84.7	84.8	87
Y00G_100_100 _d	87.8	-10.2	95.4	96.0	96
Y25G_100_100 _d	81.2	-17.0	84.3	86.0	101
Y50G_100_100 _d	70.6	-29.7	66.5	72.8	114
Y75G_100_100 _d	57.9	-48.3	45.8	66.5	136
G00B_100_100 _d	50.0	-65.0	29.6	71.4	155
G25B_100_100 _d	52.9	-48.6	-8.0	49.3	189
G50B_100_100 _d	56.8	-25.5	-41.5	48.7	238
G75B_100_100 _d	41.7	-1.2	-40.6	40.6	268
B00R_100_100 _d	25.0	29.5	-40.4	50.0	306
B25R_100_100 _d	35.6	58.6	-20.7	62.1	340
B50R_100_100 _d	46.1	79.3	-0.2	79.3	359
B75R_100_100 _d	45.9	74.2	21.1	77.1	15



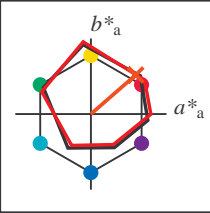
Entrée et sortie: Système Offset Reflective ORS18a pour la teinte CIELAB relative $h_{ab,a,rel} = h_{ab}/360 = 41/360 = 0.11$

$H^*_e = R25Y_e$

Données de couleurs périphériques (d)

ou élémentaires (e):

HIC^*_e
code de teinte pour les couleurs de cette page:
 $H^*_e = R25Y_e$
triangle de luminosité T^*



ORS20a; données CIELAB (a) adaptées

nom	$L^*=L^*_a$	a^*_a	b^*_a	$C^*_{ab,a}$	$h^*_{ab,a}$
R _e ,Ma	45.6	72.2	34.4	80.0	25
Y _e ,Ma	83.6	-3.6	90.4	90.4	92
G _e ,Ma	50.6	-62.1	19.9	65.2	162
C _e ,Ma	55.0	-36.2	-27.2	45.3	216
B _e ,Ma	40.2	1.2	-40.6	40.6	271
M _e ,Ma	31.1	47.7	-29.1	55.9	328
N _e ,Ma	24.3	0.0	0.0	0.0	0
W _e ,Ma	95.6	0.0	0.0	0.0	0
R _e ,CIE	39.9	58.7	27.9	65.0	25
Y _e ,CIE	81.2	-2.8	71.5	71.6	92
G _e ,CIE	52.2	-42.4	13.6	44.5	162
B _e ,CIE	30.5	1.4	-46.4	46.4	271

Les données de couleur maximale (Ma):

$LabCh^*_{e, Ma}: 50\ 59\ 51\ 78\ 41$

$HIC^*_{e, Ma}: R25Y_{100_{100}e}$

$rgbic^*_{e, Ma}$:

1.0 0.16 0.0 1.0 1.0

triangle de luminosité T^*

% Gamme
 $u^*_{rel} = 92$
% Régularité
 $g^*_{H,rel} = 57$
 $g^*_{C,rel} = 58$

ORS20a; données CIELAB (a) adaptées

H^*_e	$L^*=L^*_a$	a^*_a	b^*_a	$C^*_{ab,a}$	$h^*_{ab,a}$
R00Y _{100_{100}e}	45.6	72.2	34.4	80.0	25
R25Y _{100_{100}e}	50.5	59.2	51.6	78.6	41
R50Y _{100_{100}e}	60.2	38.2	63.4	74.1	58
R75Y _{100_{100}e}	70.9	17.9	75.9	77.9	76
Y00G _{100_{100}e}	83.6	-3.6	90.4	90.4	92
Y25G _{100_{100}e}	74.5	-25.0	74.3	78.4	108
Y50G _{100_{100}e}	62.6	-40.9	53.8	67.6	127
Y75G _{100_{100}e}	54.1	-55.5	37.5	67.0	145
G00B _{100_{100}e}	50.6	-62.1	19.9	65.2	162
G25B _{100_{100}e}	53.0	-48.6	-8.2	49.2	189
G50B _{100_{100}e}	55.0	-36.2	-27.2	45.3	216
G75B _{100_{100}e}	53.3	-19.8	-41.3	45.9	244
B00R _{100_{100}e}	40.2	1.2	-40.6	40.6	271
B25R _{100_{100}e}	28.1	23.4	-40.3	46.7	300
B50R _{100_{100}e}	31.1	47.7	-29.1	55.9	328
B75R _{100_{100}e}	41.4	70.4	-9.8	71.1	352

